



## بررسی پارامترهای موثر بر فرآیند پرداخت کاری سایشی مغناطیسی سوپرآلیاژ اینکوئل ۷۱۸

مهرداد وحدتی<sup>\*</sup>، سید علیرضا رسولی<sup>\*</sup>

- دانشیار، مهندسی مکانیک، دانشگاه صنعتی خواجه نصیر الدین طوسی، تهران

- دانشجوی دکترا، مهندسی مکانیک، دانشگاه صنعتی خواجه نصیر الدین طوسی، تهران

\* تهران، صندوق پستی ۱۹۹۹-۱۹۳۵، vahdati@kntu.ac.ir

### چکیده

عموماً سوپرآلیاژها در رده مواد با قابلیت ماتین کاری ضعیف قرار دارند. حذف الودگی های فلزی، لکه ها و اکسیدها بر عملکرد آنها تاثیرگذار است. از جمله روش هایی که از میدان مغناطیسی برای کنترل پرداخت کاری استفاده می کنند پرداخت کاری سایشی مغناطیسی است. از دیگر قواید بسیار مهم این روش، جهت استفاده در پرداخت کاری مواد با استحکام بالا و شرایط خاص می باشد. یک دسته از این مواد سوپرآلیاژها می باشند. در این مقاله به بررسی فرآیند سایشی مغناطیسی بر روی سطح ورق سوپرآلیاژ پایه نیکل اینکوئل ۷۱۸ پرداخته شده است. از آنجا که فرآیند مذکور وابستگی شدیدی به پارامترهای موثر دارد، برخی از این پارامترها مانند درصد ذرات پودر ساینده، فاصله آهن ربا تا قطبده کار، سرعت دورانی کله کی ماتین ابزار فرز، فرخ پیشوی و سایز ذرات ساینده بر قدر کاهش زبری متوجه سطح بررسی می گردند. طراحی آزمایش ها توسط روش های مبتنی بر آمار و توسط نرم افزار مینی توب صورت گرفته است. مدل سطح یافخ، طرح پیشنهادی انجام آزمایش ها می باشد. از طریق آنالیز واریانس پارامترهای موثر و معادله رگرسیون حاصل بر فرآیند استخراج می گردد. همچنین شرایط پیشنهادی پرداخت کاری سایشی مغناطیسی نیز قابل استخراج می باشد.

کلید واژگان: پرداخت کاری سایشی مغناطیسی، اینکوئل ۷۱۸، آزمایش، شیمی سازی

## Study of the parameters affecting the magnetic abrasive finishing (MAF) process of Inconel 718 super alloy

Mehrdad Vahdati<sup>\*</sup>, Seyed Alireza Rasouli

Department of Mechanical Engineering, K.N. Toosi University of Technology, Tehran, Iran

\* P.O.B. 19395-1999 Tehran, Iran, vahdati@kntu.ac.ir

### ABSTRACT

Super alloys are generally being indexed in the category of materials with poor machinability. Also, the removal of metal contamination stains and oxides affect the process performance. Magnetic Abrasive Finishing (MAF) is the method of using magnetic field to control the metal removal. Another important benefit of this process is polishing of materials with high strength. A bunch of these materials are super alloys. In this paper, the magnetic abrasive finishing of the nickel-base Inconel 718 super alloy have been studied. Since the process has severe dependence on the effective parameters, some of these parameters have been studied such as magnetic field strength, gap, rotational speed and feed rate on the value of the average roughness of surface. Design of experiments carried out by method based on statistics using Minitab software. Response surface model is proposed method for design of experiments. Regression equation of the process and the effective parameters were extracted from the variance analysis. The optimum conditions of magnetic abrasive finishing were also extracted.

**Keywords:** Experiment, Inconel 718, Magnetic Abrasive Finishing, Simulation.

ماتین کاری شده نقش مهمی در خواص مکانیکی سوپرآلیاژ دارد. عموماً سوپرآلیاژها در رده مواد با قابلیت ماتین کاری ضعیف قرار دارند. زیرا همان خصوصیاتی که این مواد را برای کار در دمایهای بالا مناسب ساخته اند، باعث تضعیف قابلیت ماتین کاری آنها شده اند. سوپرآلیاژهای پایه آهن - نیکل که از خانواده فولادهای زنگ ذرن هستند، در شرایط عملیات حرارتی یکسان از آسان قر از سوپرآلیاژهای پایه نیکل و پایه کبات ماتین کاری می شوند. اکثر روش های معمول برای بهبود قابلیت ماتین کاری در سوپرآلیاژها مؤثر واقع نمی شوند. اصلاح آلیاژ و عملیات حرارتی به خاطر اثرات مضري که می تواند روی خواص مکانیکی داشته باشند، عموماً مؤثر نیستند.<sup>[۲]</sup>

یکی از راه حل های ارائه شده، استفاده از فرآیندهای الکتریکی در ماتین کاری قطعات است. پس از به کار گیری مشخص شده است که این روش ها نیز چندان نتایج مطلوبی را بر جا نمی گذارند. به عنوان مثال در آلیاژهای پایه نیکل ماتین کاری شده به روش الکتروشیمیایی دیده شده است

### ۱ مقدمه

سوپرآلیاژها، آلیاژهای پایه نیکل، پایه آهن و پایه کبات هستند که معمولاً در دماهای بالاتر از ۵۴۰ درجه مانتگی گراد استفاده می شوند. سوپرآلیاژهای پایه آهن - نیکل ماتنده آلیاژ IN718 از فن اوری فولادهای زنگ ذرن تسمیه یافته- اند و معمولاً به صورت کار شده می باشند. یکی از ویژگی های مهم سوپرآلیاژها، وابستگی غیر عادی استحکام آنها به دما است. در فازات خالص و اکثر آلیاژها با افزایش دما استحکام کاهش پیدا می کند. این حالت در سوپرآلیاژهای استحکام یافته وجود ندارد.<sup>[۱]</sup>

در ساخت قطعات سوپرآلیاژها از ماتین کاری استفاده می شود و بر روی هر قطعه ای به تعدادی مراحل ماتین کاری نیاز است. ماتین کاری سوپرآلیاژها در مقایسه با فولادها پر هزینه تر است. بخش زیادی از هزینه های ماتین کاری سوپرآلیاژها به خاطر سرعت برش کاری آنها است که در حدود ۵ تا ۱۰ درصد سرعت برش کاری فولادها می باشد. شرایط سطحی قطعه

برای ارجاع به این مقاله از عبارت ذیل استفاده نمایید:

M. Vahdati, S.A. Rasouli, Study of the parameters affecting the magnetic abrasive finishing (MAF) process of Inconel 718 super alloy, *Modares Mechanical Engineering, Proceedings of the Advanced Machining and Machine Tools Conference, Vol. 15, No. 13, pp. 257- 264, 2015 (in Persian)*

متصل شده‌اند. نیروی اعمالی بر ذرات مغناطیسی باعث نفوذ ذرات ساینده با سختی بالا (مانند اکسید آلومینیوم، کاربید سیلیسیم...) در سطح قطعه کار می‌گردد. مقدار نیروی اعمالی و مقدار نفوذ در حد میکرو نیوتون و میکرو متر و حتی کمتر می‌باشد. با اعمال حرکت نسبی مابین جاروبک ساینده و قطعه کار مکانیزم میکرو براده برداری صورت می‌پذیرد. با توجه به منعطف بودن جاروبک ساینده امکان پرداخت کاری هر سطحی با هرگونه پیچیدگی وجود دارد. استفاده از میدان مغناطیسی باعث اعمال نیروی یکنواخت بر سطح قطعه کار می‌گردد [۵].

تشهای برشی بسیار ناچیز به علت عمق نفوذ بسیار آنکه، اعمال تشهای فشاری، کاهش حرارت ایجاد شده نسبت به سایر فرآیندهای پرداخت کاری از مراها این روش می‌باشد. همچنین نسبت به روش‌های

شیمیایی نیز آلودگی محیط زیست ایجاد نمی‌گردد. در گذشته این فرآیند بیشتر بر سطوح فلزات فرومغناطیسی صورت گرفته است [۶]. تحقیقاتی مبنی بر انجام این فرآیند بر فلزات غیر فرومغناطیسی مانند فولاد زنگنزن ۴۰۰ انجام شده است [۷]. قطعاتی از جنس آلومینیوم، برنج، مسیزیم و سرامیک نیز در تحقیقات گذشته بررسی شده‌اند [۸] [۹] در این مطالعه اثر فرآیند پرداخت کاری سایشی مغناطیسی در سوپرآلیاژ اینکومن ۷۱۸ بررسی می‌گردد. پارامترهای موثر بر فرآیند و شرایط بهینه پرداخت کاری سایشی مغناطیسی از نتایج این تحقیق می‌باشد.

## ۲ آزمایش‌ها

۱- شیوه‌سازی و اندازه‌گیری چگالی شار مغناطیسی (تسلا) کارآیی روش‌های سایشی مغناطیسی بر مواد فرومغناطیس نسبت به مواد غیر فرومغناطیس بیشتر می‌باشد. ایجاد مدار بسته مغناطیسی مابین قطب آهن‌ربا و فلز فرومغناطیس باعث تراکم بیشتر پودر ساینده مغناطیسی و نتایج مطلوب می‌گردد. امکان نگهداری پودر ساینده مغناطیسی در سرعت‌های بالای دورانی در این حالت وجود داشته و پودر بر سطح قطعه کار متصرک می‌باشد. در واقع فلز فرومغناطیس مانند قطب مخالف آهن‌ربا عمل می‌کند. اما در فلزات غیر فرومغناطیس چنین حالتی رخ نمی‌دهد. جهت بهتر شدن نتیجه می‌توان از قرارگیری آهن‌ربا با قطب مخالف (نسبت به آهن‌ربا نصب شده بر کله‌گی فرز) در زیر قطعه کار استفاده کرد. اینکومن ۷۱۸ جزء مواد غیر فرومغناطیس با ضریب نفوذ مغناطیسی نسبی نزدیک به ۱ می‌باشد. آنالیز شیمیایی اینکومن ۷۱۸ مور استفاده در این تحقیق در جدول ۱ ارایه شده است.

در جدول ۲ خصوصیات مکانیکی و فیزیکی این سوپرآلیاژ آورده شده است.

جدول ۱ آنالیز شیمیایی اینکومن ۷۱۸

%Al	%Mn	%Cr	%Mo	%Fe	%W	%V	اینکومن
.۱۴۵۴	.۰۹۱	۱۷/۹۷	۱/۸۴	۱۵/۹۰	.۱۹۴	.۱۲	۷۱۸
%Co	%Cu	%Ta	%Ti	%Hf	%Si	%Ni	%Nb
.۱۲۲	.۰۲۴	.۰۲۶	.۰۱۳	.۰۲۴	.۰۱۰	.۰۷۶	.۰۱۵

جدول ۲ خصوصیات فیزیکی و مکانیکی اینکومن ۷۱۸

ضریب هدایت	مدول	سختی	چگالی	نقشه	ضریب هدایت	مدول	سختی	چگالی	نقشه	ضریب هدایت	مدول	سختی	چگالی	نقشه
تسخیمه	(HV150)	(g.cm <sup>3</sup> )	(g.cm <sup>3</sup> )	حرارتی	تسخیمه	(HV150)	(g.cm <sup>3</sup> )	(g.cm <sup>3</sup> )	حرارتی	تسخیمه	(HV150)	(g.cm <sup>3</sup> )	(g.cm <sup>3</sup> )	حرارتی
(MPa)	(GPa)			(°C)	(MPa)				(°C)	(MPa)				(°C)
۱۱۱	۲۰.۶			۲۷	۸/۱۹				۱۲۰	۱۱/۲				۱۲۰

که استحکام خستگی به خاطر حذف تشنهای فشاری سطحی در حدود ۵ درصد کاهش می‌باید. همچنین پرداخت کاری سطوح سوپرآلیاژها نیز اهمیت فراوانی دارد. مواردی مانند آلودگی فلزی، لکه‌ها و اکسیدها و پوسته‌ها می‌توانند بر کارآیی سوپرآلیاژها تاثیر بگذارند.

سطح قطعات ساخته شده از الیاژهای مقاوم به حرارت پس از برخورد با ابزار برشی، قالب‌های شکل‌دهی، ابزار ماشین کاری و یا نگهدارنده‌های عملیات حرارتی به فلزات دیگری آلوده می‌شود. آلودگی‌های فلزی همیشه مضر نیستند، ولی وجود آن‌ها در بعضی از شرایط مغرب است. به عنوان مثال آلیار INV۷۵ ممکن است تحت تأثیر فلز روی باقی‌مانده از تماس با سطح قالب‌های کشش قرار نگیرد، اما ذرات ریز آلومینیوم در دماهای بالا با آلیار ترکیب شده و مقاومت خودگی و استحکام ناحیه‌آلوده را کاهش می‌دهند [۳].

لکه‌ها لایه‌های بسیار نازک اکسیدی هستند که در بعضی از کاربردها مانند جوش کاری یا لحیم کاری سخت، باید از سطح قطعات حذف شوند. ویژگی اصلی سوپرآلیاژها نه تنها استحکام دما بالا بلکه مقاومت اکسیداسیون بالا می‌باشد. مقاومت اکسیداسیون با تشکیل اسید محافظ اکسید کروم و اکسید آلومینیوم به وجود می‌آید. اکسیدها گاهی پوسته نامیده می‌شوند، حتی زمانی که نسبتاً نازک و دارای خاصیت حفاظت‌کنندگی هستند. در واقع پوسته‌ها لایه‌های ضخیم‌تر اکسیدها هستند و حذف اکسیدها و پوسته‌ها از سطح برای بهبود کارآیی قطعات انجام می‌گیرد.

اما جهت حذف موارد ذکر شده معمولاً در مواردی مانند آلودگی فلزی سعی بر این است که توسط روش‌هایی مانند افزودن روانکار یا مواد جدید پیش‌گیری صورت گیرد. در غیر این صورت جهت حذف از روش‌های شیمیایی و یا مکانیکی استفاده می‌شود. حذف آلودگی‌ها به روش شیمیایی یا مکانیکی باعث کاهش مقدار قابل توجهی از تشنهای باقی‌مانده مفید می‌گردد و حتی ممکن است به جای آن‌ها تشنهای باقی‌مانده غیرمفید ایجاد شود. روش‌های شیمیایی حذف آلودگی‌های سطحی باعث واکنش بعضی از آلودگی‌ها با مواد شیمیایی تمیز کننده و خسارت بین دانه‌ای می‌شود. این نوع خسارت نه تنها ظاهر قطعه را نامناسب می‌سازد بلکه شکاف‌هایی در روی سطح ایجاد می‌کند که این شکافها عمر خستگی و خوش سوپرآلیاژها را کاهش می‌دهند. روش مؤثر برای حذف آلودگی فاری سطح قطعات، تمیزکاری با مواد ساینده به روش‌های خشک و مرطوب مانند پولیش با مواد سرامیکی و تمیزکاری دورانی می‌باشد. تعیین روش‌های مکانیکی مناسب برای تمیزکاری قطعات، به عواملی نظری شکل قطعه، کیفیت سطح تمام شده مورد نیاز و میزان خطای مجاز ابعاد بستگی دارد. در روش‌های حذف مکانیکی امکان حذف مقداری از فلز سطح قطعه نیز وجود دارد. پولیش دستی توسط نمد و ذرات ساینده مانند اکسید آلومینیوم از جمله روش‌های مکانیکی است. عدم امکان دسترسی پور ساینده به تمامی نقاط در قطعاتی با شکل‌های پیچیده و یکنواخت نبودن نیروی وارده از جمله معابد این دسته از روش‌ها می‌باشد [۴].

از طرف دیگر استفاده از روش‌های پرداخت کاری تحت کنترل نیروی مغناطیسی و توسط ذرات ساینده مغناطیسی در حال پیشرفت می‌باشد. در روش‌های پرداخت کاری سایشی مغناطیسی با اعمال میدان مغناطیسی توسط آهن‌ربا دائم، ذرات مغناطیسی به صورت زنجیره‌وار به یکدیگر متصل می‌شوند. از کنار هم قرار گرفتن زنجیره‌ها، جاروبک مغناطیسی تشکیل می‌شود. ذرات ساینده سایز کوچکتری نسبت به ذرات مغناطیسی داشته و توسط روش‌های مکانیکی، متالورژی پور (زینتر) و یا استفاده از روانکار به ذرات مغناطیسی

لازم به ذکر است میزان تاثیر آهن ربا قطب مخالف به ابعاد آهن ربا و فاصله آن تا قطعه کار نیز بستگی دارد. شرایط مورد استفاده در شبیه‌سازی و اندازه‌گیری در جدول ۳ آورده شده است. در اندازه‌گیری‌های صورت گرفته کلیه تجهیزات مورد استفاده به علت عدم تاثیر بر میزان چگالی شار مغناطیسی از مواد غیر فرومغناطیس نهیه شده‌اند. در شکل ۳ نتایج بدست آمده از اندازه‌گیری آورده شده است. همان‌طور که مشخص است همانگی با نتایج شبیه‌سازی وجود دارد. البته مقادیر شبیه‌سازی در بیشترین مقدار تفاوت ۲۸٪ بیشتر می‌باشد.

#### ۲-۲- شرایط انجام آزمایش

به علت مشکل‌های استفاده از آهن رای الکتریکی جهت ایجاد میدان مغناطیسی از آهن رای دائمی نبودیم بر آهن<sup>۱</sup> استفاده شده است. جهت آزمایش‌های از فیکسچر الومیتیومی جهت نگهداری آهن رای استوانه‌ای N۲۵ با ابعاد قطر ۲۵ mm و ارتفاع ۱ mm استفاده شده است. همچنین فیکسچر نگهداری قطعه کار اینکوئل از جنس نفلون می‌باشد. که در قسمت تحتانی محل نگهداری قطعه کار به صورت کشوبی محلی جهت آهن رای قطب مخالف تعییه شده است. نمونه‌های آزمایشی از جنس اینکوئل ۷۱۸ به ابعاد ۲mm × ۲۰mm × ۲۰mm می‌باشند. تغییر در میزان زبری متوسط سطح به عنوان خروجی آزمایش‌ها مدنظر است. به همین علت از اندازه‌گیری زبری سطح نمونه‌ها به مدت ۲۰ دقیقه در حمام آلتراسونیک<sup>۲</sup> حاوی استون قرار می‌گیرند. سپس در موقعیت مرکز نمونه‌های آزمایشی و در منطقه‌ای به طول ۵ mm و عرض ۳ mm در ۸ نقطه عملیات اندازه‌گیری زبری سطح توسط دستگاه زبری سنج (surtronic 3+) با طول کات آف ۱۸ mm انجام می‌شود.

با میان‌گیری مابین نتایج، مقدار زبری سطح متوسط نمونه‌های آزمایشی به دست می‌آید. جهت آزمایش‌ها از دستگاه فرز ۳ محوره (CNC)<sup>۴</sup> استفاده شده است. در شکل ۴ نحوه آزمایش‌ها به همراه تجهیزات نشان داده شده است.

روش پرداخت کاری شبیه‌سازی مغناطیسی به پارامترهای متعدد و زیادی واپس است (حدوداً ۱۴ پارامتر). بررسی همزمان این تعداد فاکتور نیاز به تعداد آزمایشات زیادی دارد که بررسی و کنترل خطاهای موجود نیز بسیار دشوار می‌باشد. در این مطالعه به کمک روش‌های مبتنی بر آمار، پارامترهای فاصله نمونه تا آهن رای (گب)، سرعت دورانی، فرخ پیش روی، درصد ذرات ساینده و سایز ذرات ساینده بررسی شده‌اند. از روش آماری سطح پاسخ جهت تنظیم و تعیین تعداد آزمایش‌ها استفاده است. این روش تعداد آزمایش‌ها مورد نیاز را کاهش داده و به راحتی با آنالیز واریانس<sup>۵</sup> بر روی نتایج، می‌توان فاکتورهای مؤثر، نحوه تاثیر و شرایط بهینه را به دست آورد [۱۲].

جدول ۳ شرایط شبیه‌سازی و اندازه‌گیری

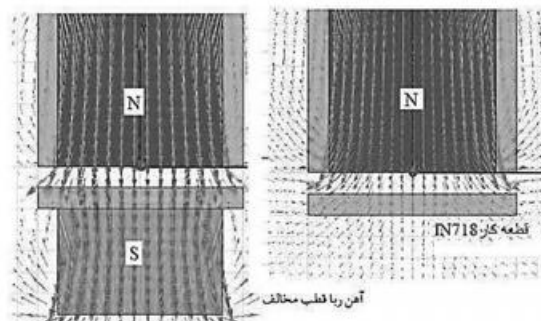
پارامترها
۲۵N
نوع آهن رای
IN718
قطعه کار
A17-75
فیکسچر آهن رای
۲mm
گب (فاصله بین آهن رای و قطعه کار)

جهت بررسی اثر قرارگیری آهن ربا مخالف از شبیه‌سازی و آزمایش‌ها استفاده شده است. در شبیه‌سازی توسط نرم‌افزار المان محدود ماسکول نتیجه قرارگیری آهن ربا با قطب مخالف بر میزان متوسط چگالی شار مغناطیسی بدست آمده است. از طریق دستگاه تسلامتر نیز این تفاوت اندازه‌گیری شده و با نتایج شبیه‌سازی مقایسه شده است. در شکل ۱، نحوه اندازه‌گیری چگالی شار مغناطیسی توسط دستگاه تسلامتر (PHWVE در محدوده ۰-۲ تسل) به همراه آهن ربا زیر قطعه کار نشان داده شده است.

شکل ۲ نشان دهنده نحوه تاثیر قطب مخالف در بردار چگالی شار مغناطیسی است. همچنین در شکل ۳ در فاصله ۲ میلی‌متر از سطح آهن رای در طول اینکوئل ۷۱۸ (۱۶mm) نحوه توزیع چگالی شار مغناطیسی (میلی‌متر) در هر دو حالت بدون قطب مخالف و با وجود قطب مخالف به دست آمده از شبیه‌سازی و اندازه‌گیری نمایش داده شده است.



شکل ۱ نحوه انجام اندازه‌گیری چگالی شار مغناطیسی توسط تسلامتر



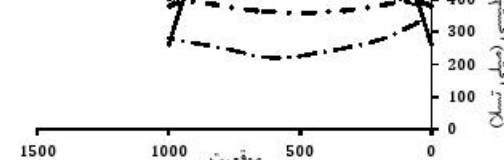
شکل ۲ بردار چگالی شار مغناطیسی در اینکوئل ۷۱۸

بدون قطب مخالف شبیه سازی

با قطب مخالف شبیه سازی

بدون قطب مخالف اندازه گیری

با قطب مخالف اندازه گیری



شکل ۳ نحوه توزیع چگالی شار مغناطیسی (میلی‌متر) در اینکوئل ۷۱۸ (شبیه‌سازی)

1. NdFeB
2. Bath ultrasonic
3. cut off
4. Computer numerical control(CNC)
5. Analysis of variance(ANOVA)

رسیدن به هدف به دست آمد که به همراه مقادیر درصد تغییرات زیری سطح در جدول ۶ ارایه شده است. برای جلوگیری از خطاهای احتمالی آزمایش‌ها به صورت تصادفی انجام شده‌اند و از انجام آزمایش‌ها به ترتیب جدول خودداری شده است.

جدول ۵ مقادیر کد شده فاکتورهای ورودی آزمایش

-α	۱	۰	۱-	-α	فاکتورهای ورودی
گپ (mm)	۲/۵	۲	۱/۵	۱	۰/۵
درصد وزنی ذرات ساینده (Wt%)	۴۰	۲۲/۵	۲۵	۱۷/۵	۱۰
سایز ذرات ساینده	۱۲۰	۱۰۰	۸۰	۶۰	۴۰
ترخ پیش روی (mm/min)	۵۰	۴۰	۳۰	۲۰	۱۰
سرعت دورانی اسپیندل (rpm)	۲۱۰۰	۱۶۰۰	۱۱۰۰	۶۰۰	۱۰۰

جدول ۶ آزمایش‌های انجام شده و مقادیر

Ra Δ(%)	سرعت دورانی (rpm)	سایز ذرات (mm/min)	ترخ پیش روی (mm/min)	درصد وزنی ذرات ساینده	گپ (mm)	شماره
۴۲/۶	۱۶۰۰	۲۰	۶۰۰	۱۷/۵	۱/۵	۱
۲۲/۸	۶۰۰	۲۰	۶۰۰	۱۷/۵	۲/۵	۲
۲۷/۶	۶۰۰	۲۰	۶۰۰	۲۲/۵	۱/۵	۳
۱۶/۶	۱۶۰۰	۲۰	۶۰۰	۲۲/۵	۲/۵	۴
۵۱/۵	۶۰۰	۲۰	۱۰۰۰	۱۷/۵	۱/۵	۵
۲۴/۶	۱۶۰۰	۲۰	۱۰۰۰	۱۷/۵	۲/۵	۶
۴۷/۹	۱۶۰۰	۲۰	۱۰۰۰	۲۲/۵	۱/۵	۷
۲۵/۱	۶۰۰	۲۰	۱۰۰۰	۲۲/۵	۲/۵	۸
۲۵/۱	۶۰۰	۴۰	۶۰۰	۱۷/۵	۱/۵	۹
۱۹/۱	۱۶۰۰	۴۰	۶۰۰	۱۷/۵	۲/۵	۱۰
۲۴/۸	۱۶۰۰	۴۰	۶۰۰	۲۲/۵	۱/۵	۱۱
۲۷/۹	۶۰۰	۴۰	۶۰۰	۲۲/۵	۲/۵	۱۲
۴۶/۵	۱۶۰۰	۴۰	۱۰۰۰	۱۷/۵	۱/۵	۱۳
۲۴/۹	۶۰۰	۴۰	۱۰۰۰	۱۷/۵	۲/۵	۱۴
۴۵/۱	۶۰۰	۴۰	۱۰۰۰	۲۲/۵	۱/۵	۱۵
۱۲/۴	۱۶۰۰	۴۰	۱۰۰۰	۲۲/۵	۲/۵	۱۶
۲۸/۷	۱۱۰۰	۲۰	۸۰۰	۲۵/۱	۲/۱	۱۷
۴۲/۶	۱۱۰۰	۲۰	۸۰۰	۲۵/۱	۲/۱	۱۸
۲۸/۷	۱۱۰۰	۲۰	۸۰۰	۲۵/۱	۲/۱	۱۹
۲۹/۱	۱۱۰۰	۲۰	۸۰۰	۲۵/۱	۲/۱	۲۰
۲۶/۸	۱۱۰۰	۲۰	۸۰۰	۲۵/۱	۲/۱	۲۱
۴۴/۵	۱۱۰۰	۲۰	۸۰۰	۲۵/۱	۲/۱	۲۲
۴۸/۰	۱۱۰۰	۲۰	۸۰۰	۲۵/۱	۱/۱	۲۳
۱۸/۹	۱۱۰۰	۲۰	۸۰۰	۲۵/۱	۲/۱	۲۴
۲۲/۵	۱۱۰۰	۲۰	۸۰۰	۱۰/۱	۲/۱	۲۵
۲۰/۱	۱۱۰۰	۲۰	۸۰۰	۴۰/۱	۲/۱	۲۶
۲۱/۰	۱۱۰۰	۲۰	۴۰۰	۲۵/۱	۲/۱	۲۷
۴۷/۴	۱۱۰۰	۲۰	۱۲۰۰	۲۵/۱	۲/۱	۲۸
۵۰/۹	۱۱۰۰	۱۰	۸۰۰	۲۵/۱	۲/۱	۲۹
۲۱/۹	۱۱۰۰	۵۰	۸۰۰	۲۵/۱	۲/۱	۳۰
۲۹/۵	۱۰۰	۲۰	۸۰۰	۲۵/۱	۲/۱	۳۱
۱۹/۲	۲۱۰۰	۲۰	۸۰۰	۲۵/۱	۲/۱	۳۲
۴۶/۲	۱۱۰۰	۲۰	۸۰۰	۲۵/۱	۲/۱	۳۳



شکل ۴ انجام فرایند پرداخت کاری ساینی مغناطیسی بر سطوح اینکوول

جدول ۴ نتایج آزمایش

نوع آهن ربا	نسبت درصد روانکار در پودر	روانکار	کاربید سیلیسیم	سایز ذره آهن	مقادیر پودر	جنس قطعه کار	IN718
N45	۵%	SAE2	۴۰۰	۴گرم			
N40	۵%		مشت				
N35	۵%		ذره ساینده				
N30	۵%						

جهت طراحی و تحلیل آزمایش از نرمافزار آماری مینی تاب<sup>۱</sup> نسخه ۱۶ استفاده شده است. سایر پارامترهای مورد استفاده در انجام آزمایش ثابت در نظر گرفته شده، که در جدول ۴ درج گردیده است. جهت آنجام آزمایش‌ها از پودرهای ترکیبی نامتشتمل استفاده شده است. این روش نسبت به سایر روش‌های تولید پودر (رینتر و آلباسازی مکانیکی) راحت‌تر و کم هزینه‌تر می‌باشد. ذرات آهن به عنوان فاز مغناطیسی شونده با سایز ۴۰۰ با ذرات کاربید سیلیسیم (مشهای گوناگون، نسبت ترکیب‌های مختلف) توسط همزمان مکانیکی به مدت ۲۰ دقیقه در سرعت‌های مختلف مخلوط می‌شوند. با توجه به سطح مقطع آهن ربا و فضای مابین آهن ربا و نمونه، حجم پودر مورد نیاز مشخص می‌گردد. با وزن کشی حجم مشخص شده، مقدار پودر بر حسب گرم به دست می‌آید. در هر آزمایش پودر جدید مورد استفاده قرار می‌گیرد. نوع و میزان روانکار نیز بر کیفیت سطح و نتایج سیار تاثیر دارد. در این آزمایش‌ها از روانکار SAE2 با درصد ترکیب ۵٪ نسبت به حجم پودر استفاده می‌شود. خروجی<sup>۲</sup> مهم مدنظر در طراحی آزمایش، درصد تغییرات صافی سطح می‌باشد که طبق رابطه (۱) بدست می‌آید.

$$(1) \Delta Ra(\%) = \frac{\text{سطح زیری گلوبی - سطح زیری اولیه}}{\text{سطح زیری اولیه}} \times 100$$

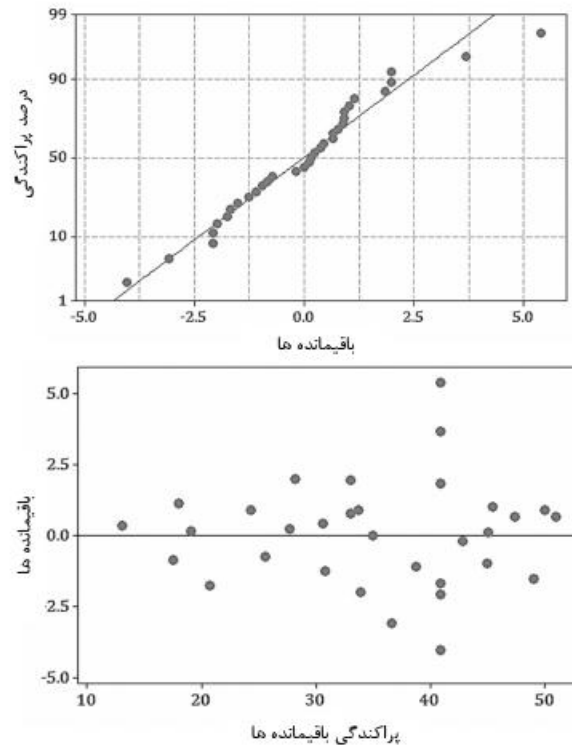
پارامترهای مورد بحث در این آزمایش مطابق جدول ۵ در ۵ سطح و به همراه مقادیر آن‌ها آورده شده‌اند.

با توجه به طراحی آزمایش صورت گرفته به روی سطح پاسخ<sup>۳</sup> برای تعداد ۵ فاکتور و تعیین  $n=2$ ، تعداد ۳۳ آزمایش به همراه ۲ بلاک برای

1. Minitab

2. response

3. Response Surface Method(RSM)



شکل ۵ نمودارهای مربوط به توزیع باقیماندها

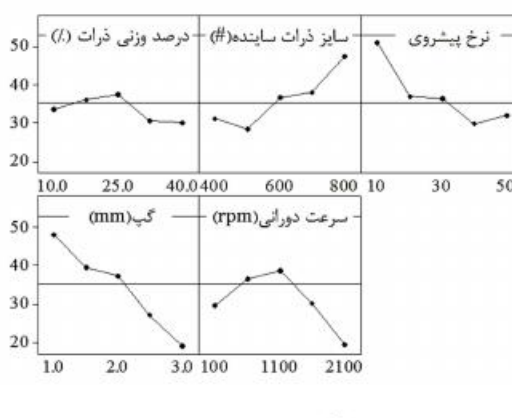
## ۴-۲ اثر پارامترهای موثر

برای تحلیل دقیق اثر پارامترهای موثر در فرآیند انجام شده می‌بایست به دقت اثر فاکتور اصلی و برهمن کنش‌های موثر فاکتورها را مورد تحلیل قرار داد. همان‌طورکه از جدول ۶ و ضرایب p بدست می‌آید تمامی فاکتورها موثر هستند. نمودار نحوه تاثیر فاکتورهای اصلی در شکل ۶ آورده شده است.

## ۴-۲-۱ اثر فاکتورهای اصلی

## ۴-۲-۱-۱ اثرگپ

همان‌طور که از شکل ۶ مشخص است، با افزایش میزان فاصله آهن‌ربا تا سطح نمونه میزان تغییرات زیری متوسط سطح کاهش پیدا می‌کند. با افزایش فاصله از سطح آهن‌ربا میزان خطوط شار مغناطیسی عبوری از سطح موردنظر



شکل ۶ اثر فاکتورهای اصلی

## ۴-۳ تحلیل داده‌ها و نتایج آزمایش

با توجه نتایج به دست آمده برای تغییرات زیری سطح، تحلیل و اصلاح مدل سازی و حذف عوامل غیرموقوف، جدول آنالیز واریانس و ضرایب معادله رگرسیون حاکم بر مساله به صورت کد شده برای خروجی در جدول ۷ آمده است. لازم به ذکر است که پارامترهای در فرآیند موثر هستند که مقدار p بدست آمده با توجه به قابلیت اطمینان ۹۵ درصد برای آن‌ها از ۰.۰۵ کمتر باشد.

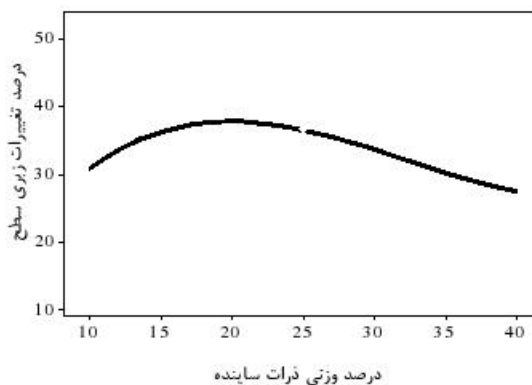
با توجه به نتایج بدست آمده از جدول آنالیز واریانس و اصلاح مدل معادله رگرسیون منطبق شده با مدل به صورت غیرکد شده برای خروجی

$$\Delta R_a(\%) = -77.54 + 44.87 \times G + 2.41 \times P + 0.068 \times M - 0.40 \times F + 0.070 \times V - 6.815 \times G^2 - 0.03 \times P^2 - 0.022 \times G \times M - 0.011 \times G \times V \quad (2)$$

همچنین  $R - Sq(adj) = 91.66\%$  و  $R - Sq = 94.79\%$  مدل است که نشان دهنده دقت خوب مدل سازی به روش سطح پاسخ به کار رفته می‌باشد. همچنین نمودارهای مربوط به تحلیل و پراکندگی باقیماندها در شکل ۵ آمده است که مناسب و منطبق هستند. عدم انطباق مدل نیز غیرموقوف شده است.

جدول ۷ ضرایب مدل رگرسیون و عدم انطباق در مدل اولیه و اصلاح شده

	مود سازی اولیه	اصلاح شده	ترم ها
عدد ثابت	-	-	-
بلوک	-	-0.142	0.981
گپ	-0.100	-0.66692	-0.100
درصد وزنی	-0.100	-0.100	-0.100
سایز ذرات	-0.100	0.05908	-0.100
ترخ پیشروی	-0.100	-0.40267	-0.100
سرعت دورانی	-0.100	-0.29225	-0.100
گپ*گپ	-0.100	-0.100	-0.100
درصد وزنی*درصد وزنی	-0.100	-0.100	-0.100
سایز ذرات*سایز ذرات	-0.100	-0.27229	0.647
ترخ پیشروی*ترخ پیشروی	-0.100	-0.26696	0.651
سرعت دورانی*سرعت دورانی	-0.100	-0.29879	-0.100
گپ*درصد وزنی	-0.100	-0.09512	-0.257
گپ*سایز ذرات	-0.100	-0.22775	0.116
گپ*ترخ پیشروی	-0.100	-0.1612	0.466
گپ*سرعت دورانی	-0.100	-0.28925	0.104
درصد وزنی*سایز ذرات	-0.100	-0.10200	-0.222
درصد وزنی*ترخ پیشروی	-0.100	-0.19287	0.268
درصد وزنی*سرعت دورانی	-0.100	-0.27625	0.105
سایز ذرات*ترخ پیشروی	-0.100	-0.15250	0.516
سایز ذرات*ترخ پیشروی	-0.100	-0.14222	0.105
ترخ پیشروی*سرعت دورانی	-0.100	-0.15675	0.491
عدم انطباق	-0.1491	-	0.26



شکل ۸ اثر فاکتور اصلی درصد ذرات ساینده

**۲-۳-۱-۴-۲-۳- افزایش سایز ذرات ساینده**

با افزایش سایز مش، قطر متوسط ذرات ساینده کاهش پیدا می‌کند. با کاهش قطر ذرات ساینده و در ترکیب وزنی ثابت میزان تعداد ذرات ساینده افزایش پیدا می‌کند. افزایش تعداد ذرات ساینده باعث افزایش تعداد لبه‌های برنده می‌گردد که باعث افزایش کارایی فرآیند می‌شود. از طرف دیگر با افزایش تعداد ذرات ساینده مقدار نیروی وارد بر ذرات ساینده از طرف ذرات مغناطیسی نیز کاهش و در نتیجه میزان عمق نفوذ در حد ایده‌آل باقی می‌ماند و سطحی با زیری سطح بسیار مناسب ایجاد می‌گردد.

**۲-۴-۱-۴-۲- اثر نرخ پیشروی**

همان‌طور که در شکل ۶ مشخص است با کاهش نرخ پیشروی میزان تغییرات زیری سطح افزایش پیدا می‌کند. در نرخ پیشروی‌های پایین می‌توان به سطح‌های بسیار مناسب رسید. در واقع با سرعت پیشروی کم در هر منطقه تعداد ذرات ساینده بیشتری می‌تواند فرآیند میکرو یا نانو برآورده باشد. که در انجام دهنده و پستی و بلندی‌های بیشتری را هموار نمایند. هچنین معمولاً در نرخ پیشروی‌های پایین در ماشین کاری مواد نرم برآوردهای پیوسته ایجاد می‌گردد که خود باعث کاهش زیری متوسط سطح می‌شود.

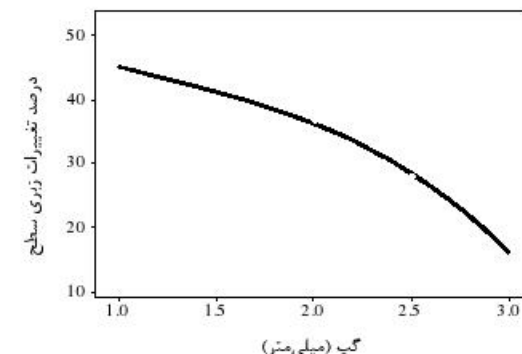
**۲-۵-۱-۴-۲- اثر سرعت دورانی**

همان‌طور که در شکل ۶ مشخص است با افزایش سرعت دورانی میزان تغییرات زیری سطح افزایش پیدا می‌کند. در واقع با افزایش سرعت دورانی در هر موقعیت تعداد ذرات ساینده بیشتری می‌تواند فرآیند برآورده باشد. هچنین بطورکاری در ماشین کاری با افزایش سرعت برشی می‌توان به دهنده. همچنین مطلوب رسید. به علت تغییر رفتار پلاستیکی ماده در سرعت‌های سطحی مطلوب رسید. اما این مقدار ایده‌آل کمتر شده و تأثیر فرآیند کاهش پیدا می‌کند. از طرف دیگر در سرعت دورانی بالا جاروبک ساینده مغناطیسی توانایی نگهداری ذرات ساینده را نخواهد داشت و در نتیجه میزان ذرات ساینده و در نتیجه لبه‌های برنده کاهش پیدا می‌کند. با توجه به موقر بودن درجه دوم فاکتور درصد ذرات ساینده، این تأثیر در شکل ۸ نشان داده شده است.

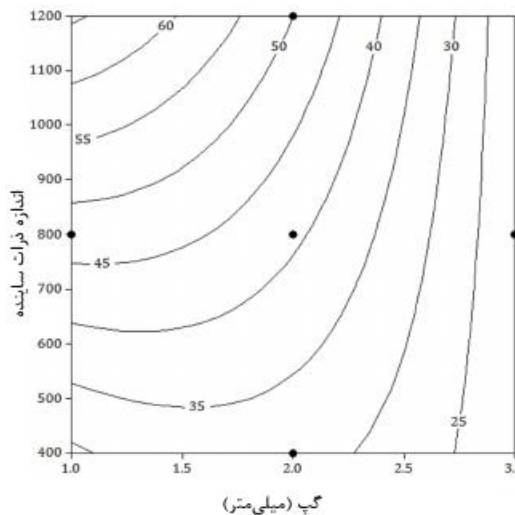
یا به تعابیری دیگر چگالی شار مغناطیسی کاهش پیدا می‌کند. میزان نیروی مغناطیسی به میزان چگالی شار مغناطیسی وابسته است. در نتیجه با افزایش فاصله میزان نیروی مغناطیسی وارد کاهش پیدا می‌کند. این کاهش از دو طریق بر میزان تغییرات زیری سطح اثر می‌گذارد. ابتدا با کاهش مقدار نیروی مغناطیسی، از آن جا که در آزمایش‌ها از پودرهای با اتصال ضعیف (رانکار) استفاده شده است، در حرکت دورانی آهن‌ربا توانایی نگهداری پودرهای با فاصله از سطح آهن‌ربا را نداشت و پودرهای ساینده به اطراف پرتاب می‌شوند. بنابراین تعداد لبه‌های ساینده کاهش پیدا کرده و میزان تغییرات نیز کاهش پیدا می‌کند. از طرف دیگر با کاهش مقدار نیروی مغناطیسی میزان نفوذ در سطح قطعه کار بسیار کاهش پیدا می‌کند و به این ترتیب ذرات ساینده توانایی حذف پستی و بلندی‌های با ارتفاع بیشتر از عمق نفوذ را نخواهد داشت. در نتیجه میزان تغییرات کاهش پیدا می‌کند. طبق جدول ضرایب رگرسیون مشخص است تأثیر فاکتور گپ از سایر فاکتورها بسیار بیشتر است. همچنین از آن جا که درجه دوم این فاکتور موثر می‌باشد، مشخص می‌گردد که رفتار این فاکتور بصورت خطی نیوود و انتخا خواهد داشت. در شکل ۷ این انتخا دید می‌شود.

**۲-۴-۲-۱-۴-۲- اثر درصد وزنی ذرات ساینده**

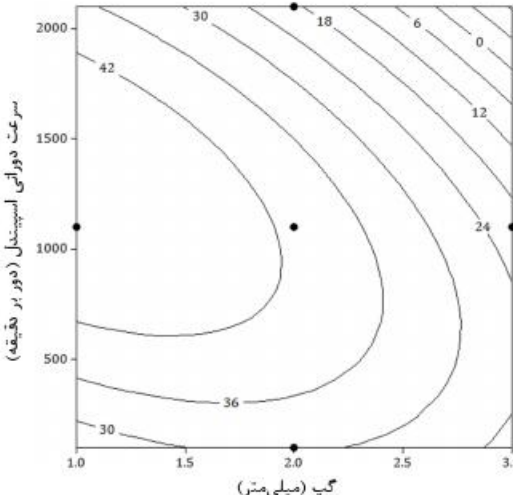
همان‌طور که از شکل ۶ مشخص است با افزایش میزان پودر ساینده در ترکیب مکانیکی پودر تا حد مشخصی، میزان تغییرات زیری سطح افزایش پیدا کرده ولی این روند صعودی ادامه پیدا نمی‌کند. با ادامه افزایش میزان ذرات ساینده، میزان تغییرات زیری سطح کاهش پیدا می‌کند. ابتدا با افزایش درصد وزنی ذرات ساینده میزان لبه‌های برنده وارد بر سطح قطعه کار افزایش پیدا می‌کند که باعث افزایش میزان تغییرات زیری سطحی می‌گردد. این افزایش از طرف دیگر باعث کاهش نیروی وارد بر هر ذره ساینده می‌گردد. که در نتیجه میزان عمق نفوذ افزایش پیدا نمی‌کند. مقدار بیش از حد نیروی مغناطیسی باعث عمق نفوذ بیشتر و در نتیجه خراشیدگی سطح می‌گردد که تأثیر نامطلوبی بر میزان زیری متوسط سطح می‌گذارد. اما با افزایش درصد ذرات ساینده میزان ذرات مغناطیسی موجود در پودر ترکیبی ساینده کاهش پیدا می‌کند. از آن جا که این ذرات واسطه اعمال نیروی مغناطیسی بر ذرات ساینده می‌باشد. در نتیجه با کاهش آن‌ها این نیرو به خوبی منتقل نشده و میزان عمق نفوذ از مقدار ایده‌آل کمتر شده و تأثیر فرآیند کاهش پیدا می‌کند. از طرف دیگر در سرعت دورانی بالا جاروبک ساینده مغناطیسی توانایی نگهداری ذرات ساینده را نخواهد داشت و در نتیجه میزان ذرات ساینده و در نتیجه لبه‌های برنده کاهش پیدا می‌کند. با توجه به موقر بودن درجه دوم فاکتور درصد ذرات ساینده، این تأثیر در شکل ۸ نشان داده شده است.



شکل ۷ اثر فاکتور اصلی گپ



شکل ۱۱ اثر برهم کنش گپ و سایز ذرات ساینده



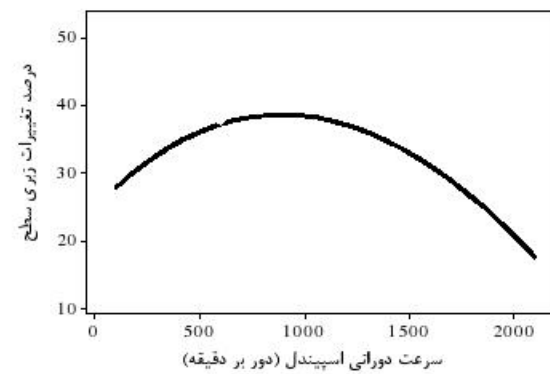
شکل ۱۲ اثر برهم کنش گپ و سرعت دورانی

با کاهش گپ و کاهش قطر ذرات می‌توان به بالاترین میزان تغییرات زبری سطح رسید. در شکل ۱۲ نیز اثر برهم کنش گپ و سرعت دورانی نشان داده شده است.

همان‌طور که مشخص است در گپ‌های کم می‌توان در بازه سرعت‌های بین ۶۰۰۰ تا ۱۶۰۰ rpm به تغییرات مناسبی رسید. در گپ ۲/۵mm با تغییر سرعت از ۶۰۰۰ rpm تا ۱۶۰۰ rpm میزان تغییرات کاهش می‌باید. در گپ mm در محدوده ذکر شده تغییری صورت نمی‌پذیرد. در گپ ۲mm نیز در سرعت ۱۱۰۰ rpm می‌توان به ۴٪ در تغییرات زبری سطح رسید.

### ۳-۵-۲-ارایه بهترین حالت انجام آزمایش‌ها

با توجه نتایج بیان شده از تحلیل نمودارها و مدل‌سازی ریاضی حاکم بر آزمایش، نرمافزار نیز یک پیشنهاد بهینه را معرفی و مقدار بیشینه تغییرات زبری سطح را پیش‌بینی می‌کند. نتایجی که از تحلیل آزمایش‌ها بیان شده، با دقیق تأثیر خوبی تایید می‌شود و می‌توان به تغییرات زبری سطح بیش از ۷۵٪ دست یافت. نتایج مذکور در جدول ۸ آورده شده است. در شکل ۱۳ تأثیر فرآیند بر روی سطح قطعه کار نشان داده شده است.

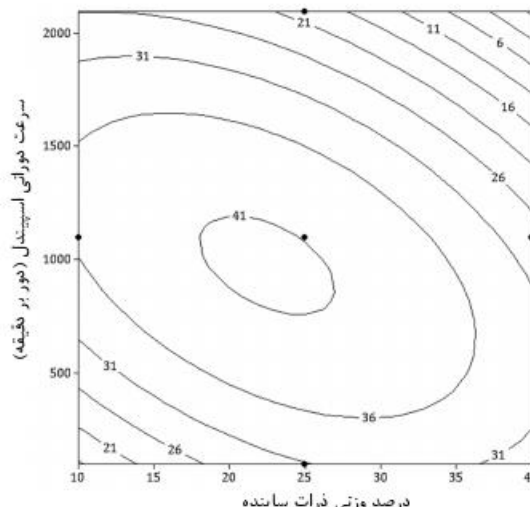


شکل ۹ اثر فاکتور اصلی سرعت دورانی

### ۳-۴-۳-۲-اثر بر هم کنش فاکتورها

طبق نتایج آنالیز واریانس مشخص است که اثر مقابل فاکتورهای گپ سرعت دورانی و گپ سایز ذرات و اثر مقابل فاکتورهای درصد ذرات ساینده سرعت دورانی نیز موثر می‌باشد. در تحلیل نمودارهای اثر برهم کشن فاکتورهای موثر، سایر پارامترها در حالت تعادل آزمایش‌ها (نقطه مرکزی) در نظر گرفته شده‌اند.

همان‌طور که در شکل ۱۰ مشخص است رابطه بین درصد ذرات ساینده و سرعت دورانی بصورت بیضی‌های متعددالمرکز می‌باشد. در میزان ثابت درصد وزنی پودر ساینده در دو سرعت متفاوت می‌توان به تغییر زبری یکسان رسید. با ثابت بودن سرعت دورانی نیز با دو سطح درصد ذرات ساینده می‌توان به تغییرات زبری سطح یکسان رسید. در محدوده سرعت ۱۱۰۰-۲۵۰۰ rpm و درصد ترکیب ذرات ساینده ۲۰ الی ۲۵ درصد می‌توان به بیشترین میزان تغییرات زبری سطح رسید. در سرعت ۱۱۰۰ rpm با افزایش میزان درصد به بیشترین میزان تغییرات رسیده و با افزایش بیشتر درصد ذرات ساینده، میزان تغییرات کاهش پیدا می‌کند. البته در سرعت ۱۶۰۰ rpm با افزایش درصد ذرات ساینده روند نزولی می‌باشد. در محدوده سرعت ۱۰۰۰-۲۱۰۰ rpm نیز نتیجه مطلوبی بدست نمی‌آید. در شکل ۱۱ اثر برهم کشن سایز ذرات و گپ نشان داده شده است.



شکل ۱۰ اثر برهم کشن سرعت دورانی و درصد ذرات ساینده

- [2] E. Ezugwu, J. Bonney, Finish machining of nickel-base Inconel 718 alloy with coated carbide tool under conventional and high-pressure coolant supplies, *Tribology transactions*, Vol. 48, No. 1, pp. 76-81, 2005.
- [3] T.T. Öpöz, X. Chen, Experimental study on single grit grinding of Inconel 718, *Proceedings of the Institution of Mechanical Engineers, Part B: Journal of Engineering Manufacture*, Vol. 268, No. 1, pp. 56-65, 2014.
- [4] D. Aspinwall, R. Dewes, E. G. Ng, C. Sage, S. Soo, The influence of cutter orientation and workpiece angle on machinability when high-speed milling Inconel 718 under finishing conditions, *International Journal of Machine Tools and Manufacture*, Vol. 47, No. 12, pp. 1839-1846, 2007.
- [5] V. Jain, Magnetic field assisted abrasive based micro-/nano-finishing, *Journal of Materials Processing Technology*, Vol. 209, No. 20, pp. 6022-6038, 2009.
- [6] R. S. Mulik, P. M. Pandey, Magnetic abrasive finishing of hardened AISI 52100 steel, *The International Journal of Advanced Manufacturing Technology*, Vol. 55, No. 5-8, pp. 501-515, 2011.
- [7] B. Girma, S. S. Joshi, M. Raghuvaran, R. Balasubramanian, An experimental analysis of magnetic abrasives finishing of plane surfaces, *Machining science and Technology*, Vol. 10, No. 3, pp. 323-340, 2006.
- [8] L. D. Yang, C. T. Lin, H. M. Chow, Optimization in MAF operations using Taguchi parameter design for AISI304 stainless steel, *The International Journal of Advanced Manufacturing Technology*, Vol. 42, No. 5-6, pp. 595-605, 2009.
- [9] M. Givi, A. F. Tehrani, A. Mohammadi, Polishing of the aluminum sheets with magnetic abrasive finishing method, *The International Journal of Advanced Manufacturing Technology*, Vol. 61, No. 9-12, pp. 989-998, 2012.
- [10] S. Kim, J. Kwak, Magnetic force improvement and parameter optimization for magnetic abrasive polishing of AZ31 magnesium alloy, *Transactions of Nonferrous Metals Society of China*, Vol. 18, pp. s369-s373, 2008.
- [11] T. W. Kim, D.-M. Kang, J. S. Kwak, Application of magnetic abrasive polishing to composite materials, *Journal of mechanical science and technology*, Vol. 24, No. 5, pp. 1029-1034, 2010.
- [12] S. D. Mun, Micro machining of high-hardness materials using magnetic abrasive grains, *International Journal of Precision Engineering and Manufacturing*, Vol. 11, No. 5, pp. 763-770, 2010.
- [13] D. C. Montgomery, *Design and analysis of experiments*: John Wiley & Sons, 2008.



شکل ۱۳ تاثیر عملکرد پرداخت کاری سایشی مغناطیسی بر سطح ورق اینکنول

جدول ۸ بهینه سازی

بهینه سازی (دورانی %)	سرعت پیشروی	ترخ دورانی	سایز ذرات ساینده	درصد ذرات ساینده	گپ (میلی متر)	بهینه گپ	بهینه سازی
۷۵/۷۲	۱۴۵۲	۱۰	۱۲۰۰	۱۷/۸۷	۱	۱	نمایزه
۶۲/۱	۱۴۵۲	۱۰	۱۲۰۰	۱۸	۱	۱	ازمایش

### ۳ تیجه و جمع‌بندی

با بررسی آنالیز آزمایش‌ها پرداخت کاری سایشی مغناطیسی بر سطح اینکنول ۷۱۸ مشخص گردید که گپ، درصد ذرات ساینده، ترخ پیشروی، سرعت دورانی و سایز ذرات ساینده بر میزان تغییرات زبری سطح مؤثر هستند.

- \* فاصله بین آهن ریا و سطح نمونه بیشترین تاثیر را بر میزان کاهش پستی و بلندی‌های سطح دارد. با کاهش فاصله، میزان تغییرات زبری سطح افزایش پیدا می‌کند.

- \* با کاهش قطر ذرات ساینده، میزان نیروی واردہ بر هر ذره کاهش و در نتیجه می‌توان به سطح اینکنول صاف و براق رسید.

- \* با افزایش درصد ذرات ساینده تا محدوده ۰/۲۲ میزان تغییرات زبری سطح افزایش و با افزایش میزان درصد پودر ساینده، میزان تغییرات کاهش پیدا می‌کند.

- \* سرعت دورانی نیز رفتار مشابهی مانند درصد ذرات ساینده دارد. با افزایش سرعت دورانی تا میزان ۱۱۰ دور بر دقیقه، تغییرات زبری سطح تا ۵۷٪ افزایش پیدا کرده ولی روند صعودی ادامه نمی‌پابد.

- \* با کاهش ترخ پیشروی میزان تغییرات صافی سطح بیشتر می‌گردد. برهمن کش گپ با سرعت دورانی و گپ با سایز ذرات ساینده نیز مؤثر می‌باشد. همچنین برهمن کش سرعت دورانی با نسبت ذرات ساینده نیز بر میزان تغییرات زبری سطح مؤثر می‌باشد.

- \* با تنظیم آزمایش‌ها با شرایط بهینه، سرعت دورانی ۱۴۵۳ دور بر دقیقه، ترخ پیشروی ۱۰ میلی‌متر در دقیقه، درصد ذرات ساینده ۱۷/۸۷٪، سایز ذرات ساینده ۱۲۰۰ مش و گپ ۱ میلی‌متر می‌توان تغییرات زبری سطح را ۶۲٪ کاهش داد که با مقدار بیش‌بینی شده توسط مدل رگرسیون کمتر از ۷/۱۵ خطای دارد.

- \* چگالی شار مغناطیسی با جایگذاری آهن ریا قطب مخالف در زیر قطعه کار تا ۳۵٪ افزایش پیدا می‌کند.

### ۴ مراجع

- [1] P. L. Tso, Study on the grinding of Inconel 718, *Journal of materials processing technology*, Vol. 55, No. 3, pp. 421-426, 1995.